



# 材料分析测试方法 习题课

2011年6月2日

## 主要内容

- 关于考试
- 作业讲评
- 补充知识点
- 补充练习



## 关于考试

- 时间: **2011年6月17日14: 00-16: 00**
- 地点: 南二**402** 南二**403**
- 考试形式: 闭卷
- 考试题型: 填空题、概念题、简答及证明题、应用及计算题

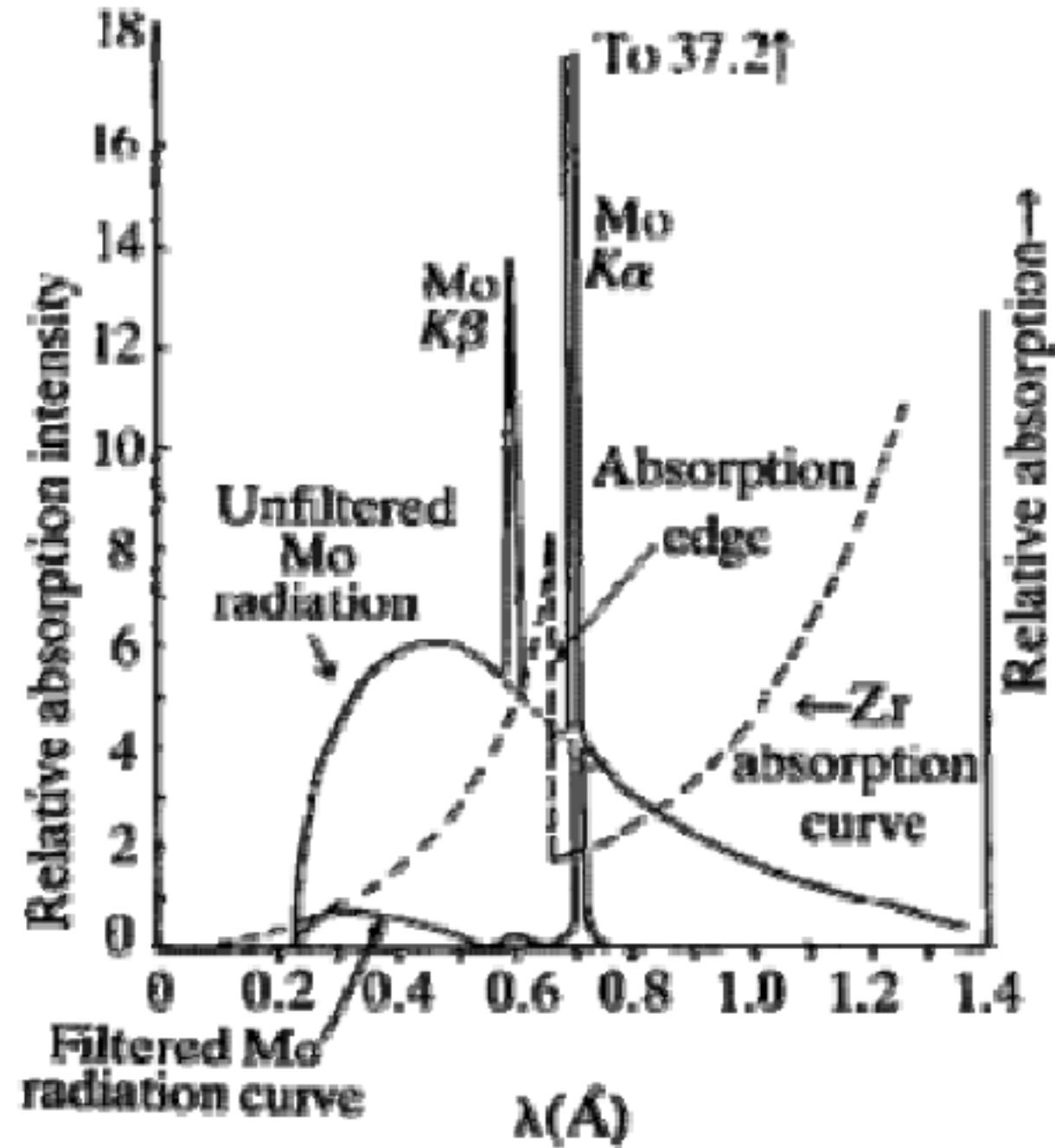
考试内容	比例/%
X射线分析	<b>45</b>
电子显微分析	<b>33</b>
热分析	<b>11</b>
光谱分析	<b>11</b>



最终成绩: 平时(作业、提问、出勤) **15%**, 期末考: **85%**

## 一、4、滤波片的作用是什么？应该怎样选择？

钼(Mo)靶，  
锆(Zr)滤波片



## 一、4、滤波片的作用是什么？应该怎样选择？

### ■ 滤波片的作用：

吸收掉大部分的  $K_{\beta}$ ，使  $K_{\beta}$  谱线及连续光谱的强度尽量减弱，获得白色X射线，提高分析精度。

### ■ 滤波片的选择：

(1) 厚度控制原则：太厚吸收太多，太薄作用不明显。一般使  $K_{\alpha}$  与  $K_{\beta}$  的比为 **600: 1**，此时  $K_{\alpha}$  的强度将降低 **30~50%**

(2) 它的吸收限位于辐射源的  $K_{\alpha}$  和  $K_{\beta}$  之间，且尽量靠近  $K_{\alpha}$ 。强烈吸收  $K_{\beta}$ ， $K_{\alpha}$  吸收很小；

(3) 滤波片以将  $K_{\alpha}$  强度降低一半最佳。 $Z_{靶} < 40$  时  $Z_{滤片} = Z_{靶} - 1$ ； $Z_{靶} > 40$  时  $Z_{滤片} = Z_{靶} - 2$ ；(Z 表示原子序数)

例如，**Cu** 靶一般选用**Ni** 做滤波片，而**Mo** 靶则选用**Zr** 做滤波片。



二、9、对于晶粒直径分别为**100, 75, 50, 25nm**的粉末衍射图形，请计算由于晶粒细化引起的衍射线条宽化幅度（设  $\theta = 45^\circ$ ,  $\lambda = 0.15\text{nm}$ ）。又对于晶粒直径为**25nm**的粉末，试计算  $\theta = 10^\circ, 45^\circ, 80^\circ$  时的 **B** 值。

## 1 衍射线宽化的原因

用衍射仪测定衍射峰的宽化包括仪器宽化和试样本身引起的宽化。试样引起的宽化又包括晶块尺寸大小的影响、不均匀应变（微观应变）和堆积层错（在衍射峰的高角一侧引起长的尾巴）。后二个因素是由于试样晶体结构的不完整所造成的。

## 2 谢乐方程

若假设试样中没有晶体结构的不完整引起的宽化，则衍射线的宽化仅是由晶块尺寸造成的，而且晶块尺寸是均匀的，则可得到谢乐方程 (**Scherrer Equation**)：

$$D = K \frac{\lambda}{B \cos \theta}$$

式中，**K** 为 **Scherrer** 常数，其值为 **0.89**；**D** 为晶粒尺寸 (**nm**)；**B** 为衍射峰半高宽度，在计算的过程中，需转化为弧度 (**rad**)； $\theta$  为衍射角； $\lambda$  为 **X** 射线波长。

$$\longrightarrow B = K \frac{\lambda}{D \cos \theta}$$

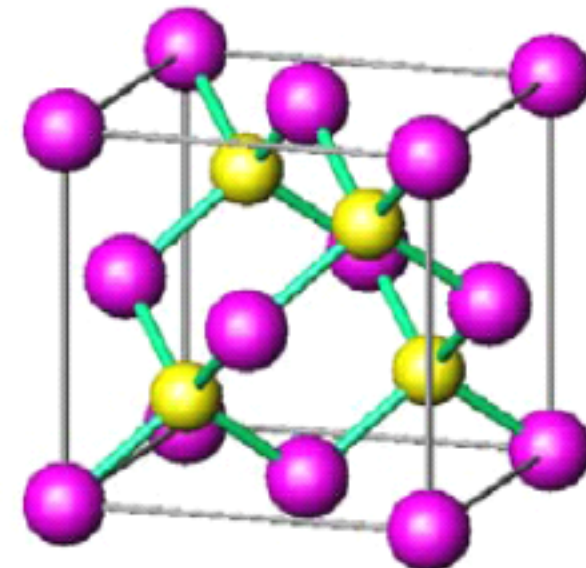


二、**10**、试计算出金刚石晶体的系统消光规律（ $\mathbf{F}^2$ 表达式）。该晶体为立方晶，单胞中有**8**个C原子分别位于以下位置：**000, 1/2 1/2 0, 1/2 0  
1/2, 0 1/2 1/2, 1/4 1/4 1/4, 3/4 3/4 1/4, 3/4 1/4 3/4, 1/4 3/4 3/4。**

$$F_{hkl} = \sum_j^N f_j e^{2\pi(i(hu_j + kv_j + lw_j))} = f[1 + e^{i\pi(\frac{h+k+l}{2})}][1 + e^{i\pi(h+k)} + e^{i\pi(h+l)} + e^{i\pi(k+l)}]$$

$$e^{i\alpha} = \cos \alpha + i \sin \alpha = a + ib$$

$$e^{n\pi i} = e^{-n\pi i} = (-1)^n$$



当 **$\mathbf{h}, \mathbf{k}, \mathbf{l}$** 部分为奇数，部分为偶数时， **$\mathbf{F}_{hkl}=0$** ，系统消光；

当 **$\mathbf{h}, \mathbf{k}, \mathbf{l}$** 全部为奇数时， **$\mathbf{F}_{hkl}=4f(1\pm i)$** ， **$|\mathbf{F}|=4f$** ，强度较弱；

当 **$\mathbf{h}, \mathbf{k}, \mathbf{l}$** 为偶数且  **$(h+k+l)/2$** 为偶数时， **$\mathbf{F}_{hkl}=8f$** ， **$|\mathbf{F}|=8f$** ，强度较强；

当 **$\mathbf{h}, \mathbf{k}, \mathbf{l}$** 为偶数且  **$(h+k+l)/2$** 为奇数时， **$\mathbf{F}_{hkl}=0$** ，系统消光。



三、1 用CuK $\alpha$ 射线以粉晶法测定下列物质,求最内层的三个德拜环的2 $\theta$ 角及所代表晶面的  
 $hkl$ 值: (1)简单立方晶体( $a = 3.00\text{ \AA}$ ) (2)简单四方晶体( $a = 2.00\text{ \AA}$ ,  $c = 3.00\text{ \AA}$ )

布拉格方程,  $2d \sin \theta = n\lambda$  ( $n = 1$ ); 对于CuK $\alpha$ 射线,  $\lambda = 1.542 \text{ \AA}$

最内层的德拜环意味着最小的2 $\theta$ , 对应最大的d

(1)简单立方晶体  $d = \frac{a}{\sqrt{h^2 + k^2 + l^2}}$  可得  $\sin \theta = \frac{\lambda \sqrt{h^2 + k^2 + l^2}}{2a}$

最内层的三个德拜环所代表晶面为 (100)、(110)、(111)

(2)简单四方晶体  $d = \frac{a}{\sqrt{h^2 + k^2 + (\frac{a}{c})^2 l^2}}$  可得  $\sin \theta = \frac{\lambda \sqrt{h^2 + k^2 + (\frac{a}{c})^2 l^2}}{2a}$

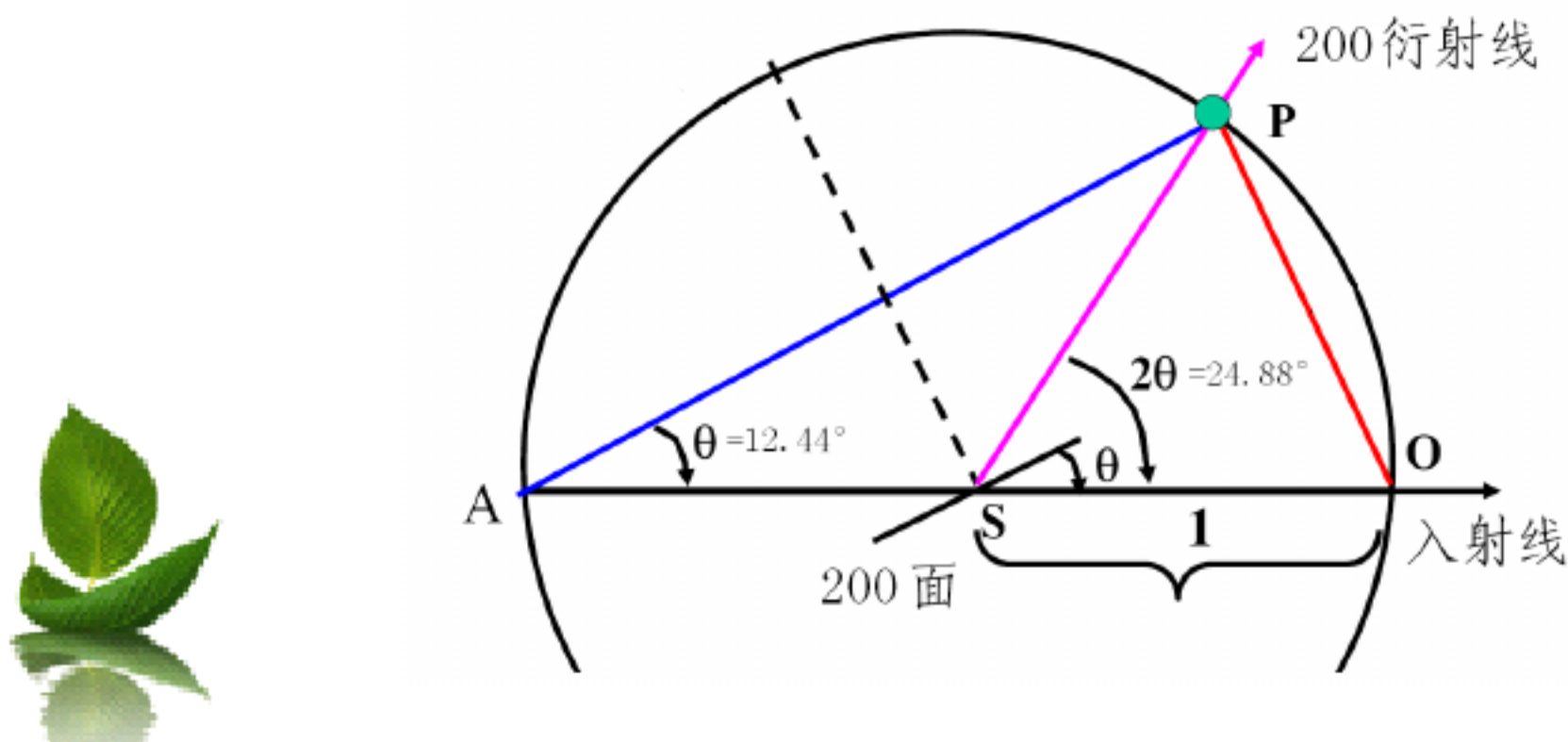
最内层的三个德拜环所代表晶面为 (001)、(100)、(011)



三、2、用MoK<sub>α</sub>照射一简单立方粉末样品( $a = 3.30\text{ \AA}$ ),用Ewald作图表示所发生的200衍射. MoK<sub>α</sub>  $\lambda = 0.7107\text{ \AA}$

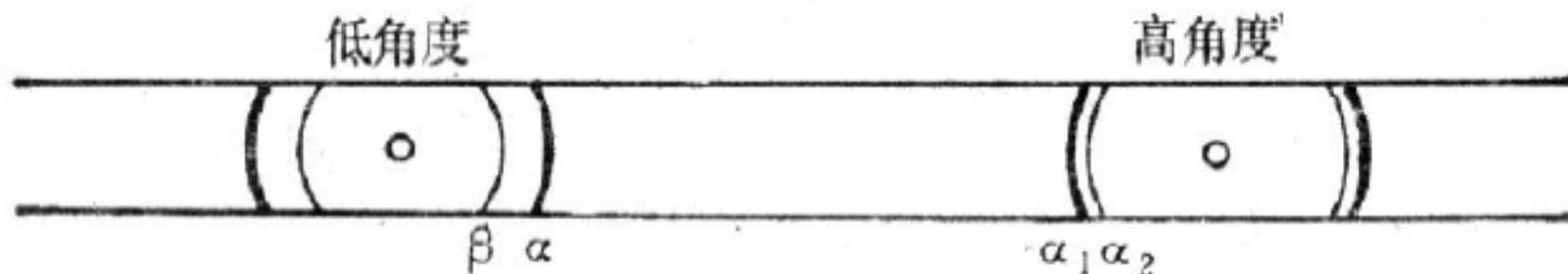
$$d = \frac{a}{\sqrt{h^2 + k^2 + l^2}} \quad 2d \sin \theta = n\lambda \quad (n=1)$$

$$\sin \theta = \frac{\lambda \sqrt{h^2 + k^2 + l^2}}{2a} = \frac{0.7107 \times \sqrt{2^2 + 0^2 + 0^2}}{2 \times 3.30} = 0.215$$



### 三、4、Debye图中在高、低角区出现双线的原因分别是什么？

布拉格方程  $2d \sin \theta = n\lambda$        $\mathbf{K}_{\alpha 1}$ 、 $\mathbf{K}_{\alpha 2}$  和  $\mathbf{K}_\beta$  的波长不同



三、5、试求直径为**57.3mm** Debye相机在  $\theta = 80^\circ$  与  $20^\circ$  时由  $\mathbf{K}_{\alpha 1}$ 、 $\mathbf{K}_{\alpha 2}$  所引起的双线间距是多少。所用光源为**Cu**靶 ( $\lambda_1 = 0.154050\text{nm}$ ;  $\lambda_2 = 0.154434\text{nm}$ ;  $\lambda = 0.154178\text{nm}$ )。如所用光源为**Cr**靶,结果将如何?

直径为**57.3mm** Debye相机, 1mm 对应的  $\theta$  角为  $1^\circ$

$$\frac{\lambda}{\sin \theta} = \frac{\lambda_1}{\sin \theta_1} = \frac{\lambda_2}{\sin \theta_2} \quad \Delta 2\theta = 2\theta_1 - 2\theta_2$$

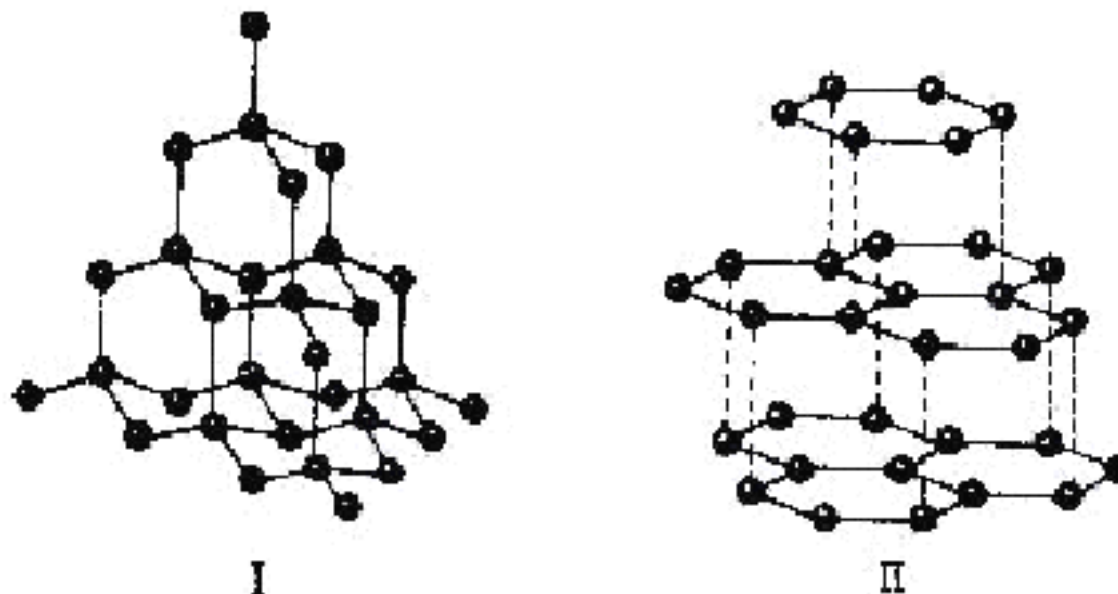
三、6、试求直径为**57.3mm** Debye相机在  $\theta = 60^\circ$  时由  $\mathbf{K}_{\alpha 1}$ 、 $\mathbf{K}_{\alpha 2}$  所引起的双线间距是多少。所用光源为**Fe**靶 ( $\lambda_1 = 0.193593\text{nm}$ ;  $\lambda_2 = 0.193991\text{nm}$ )

$$\lambda = \frac{2}{3}\lambda_1 + \frac{1}{3}\lambda_2$$



#### 四、5、金钢石、石墨、碳制成的三个粉末样品，估计它们的衍射图谱各有什么特点？

- 由于金刚石属于立方晶系的四面体结构，石墨属于六方晶系的多层结构，在X射线衍射图谱中，两者都有尖锐的峰。而碳由于是无定形结构，属于非晶体，其X射线衍射图谱没有峰。



在金刚石(I)和石墨(II)的晶体里碳原子排列的情况



四、7、某立方晶体衍射图中，从低角到高角有8条衍射峰，其 $2\theta$ 依次为  
**38.56/55.71/69.82/82.73/95.26/107.94/121.90/138.31°**,能否判断该样品的点阵类型？

$$2d \sin \theta = n\lambda \quad (n=1)$$

$$d = \frac{a}{\sqrt{h^2 + k^2 + l^2}}$$

令  $\mathbf{m} = h^2 + k^2 + l^2$

**8条衍射峰的 $\sin^2 \theta$  比值为1:2:3:4:5:6: 7:8**

即  $\mathbf{m}$  比值为**1:2:3:4:5:6: 7:8**

→  $\sin \theta = \frac{\lambda \sqrt{h^2 + k^2 + l^2}}{2a}$

体心立方  
**(bcc)**



衍射线 顺序号	简单立方			体心立方			面心立方			金刚石立方		
	HKL	m	$m_i/m_1$									
1	100	1	1	110	2	1	111	3	1	111	3	1
2	110	2	2	200	4	2	200	4	1.33	220	8	2.66
3	111	3	3	211	6	3	220	8	2.66	311	11	3.67
4	200	4	4	220	8	4	311	11	3.67	400	16	5.33
5	210	5	5	310	10	5	222	12	4	331	19	6.33
6	211	6	6	222	12	6	400	16	5.33	422	24	8
7	220	8	8	321	14	7	331	19	6.33	333, 511	27	9
8	300, 221	9	9	400	16	8	420	20	6.67	440	32	10.67
9	310	10	10	411, 330	18	9	422	24	8	531	35	11.67
10	311	11	11	420	20	10	333, 511	27	9	620	40	13.33

五、2、用 $\text{Fe}_2\text{O}_3$ 作为内标物质测定其本身与其它化合物组成矿石中Fe的含量。矿石中Fe的 $K_{\alpha}$ 谱线的强度测量为1min计数9000脉冲（背底1200脉冲）；当97g矿石中加入3g  $\text{Fe}_2\text{O}_3$ 后Fe的 $K_{\alpha}$ 为1min28800脉冲（背底为1800脉冲）。求矿石中Fe的含量。

假定矿石中的Fe是以 $\text{Fe}_2\text{O}_3$ 的形式存在。  $K_s^j = 1$

根据公式: 
$$\frac{I_j}{I_s} = K_s^j \cdot \frac{(1 - \omega_s)}{\omega_s} \omega_j$$

得: 
$$\omega_j = \frac{\omega_s}{(1 - \omega_s)} \cdot \frac{I_j}{I_s}$$

$$\omega_s = \frac{3}{97 + 3} \times 100\% = 3\%$$

$$I_s = (28800 - 1800) - (9000 - 1200) = 19200(\text{CPS})$$

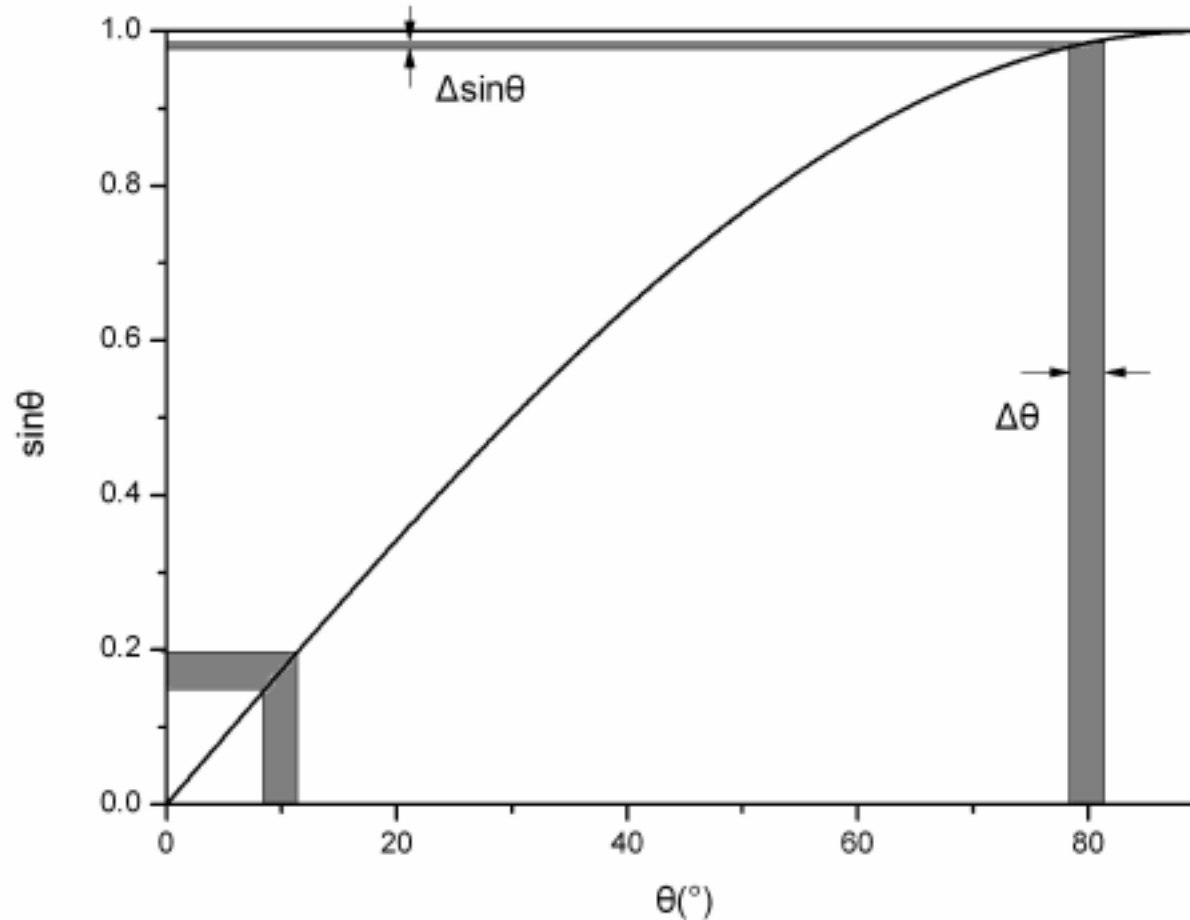
$$I_j = 9000 - 1200 = 7800(\text{CPS})$$

$$\omega_j = \frac{\omega_s}{(1 - \omega_s)} \cdot \frac{I_j}{I_s} = \frac{0.03}{(1 - 0.03)} \cdot \frac{7800}{19200} = 1.26\%$$



六、1、精确测定点阵常数为什么要选择高角度衍射线条？

6、用数学（微分）的方法推导当衍射角接近90度时，测得晶格常数的误差最小。



布拉格方程  $2d \sin \theta = n \lambda$

微分得  $\Delta \lambda = 2 \sin \theta \Delta d + 2d \cos \theta \Delta \theta$

即  $\Delta d/d = \Delta \lambda / \lambda - \cot \theta \Delta \theta$

如果不考虑波长  $\lambda$  的误差，则  $\Delta d/d = -\cot \theta \Delta \theta$



六、3、测得铝在298°C不同衍射半角( $\theta$ )对应的晶面分别为：**55.486-(331); 57.714-(420); 67.763-(422); 78.963-(333)**。试用外推法求其点阵常数(作图)

解：用外推法对 $\cos^2 \theta$ 作图时，要求全部衍射线条的 $\theta > 60^\circ$ ，而且至少有一根线其 $\theta$ 在 $80^\circ$ 以上。由于题中所给的数据不满足上述条件，因而**不作 a- $\cos^2 \theta$  图。**

当 $\theta > 60^\circ$ 区的衍射线很少时，可采用纳尔逊(Nelson.J.B.)函数：

$$f(\theta) = \frac{1}{2} \left( \frac{\cos^2 \theta}{\sin \theta} + \frac{\cos^2 \theta}{\theta} \right) \quad \theta \text{ 采用弧度制}$$

它的线性区较大， $\theta > 30^\circ$ 即可以用。因此作**a-f( $\theta$ )图**。

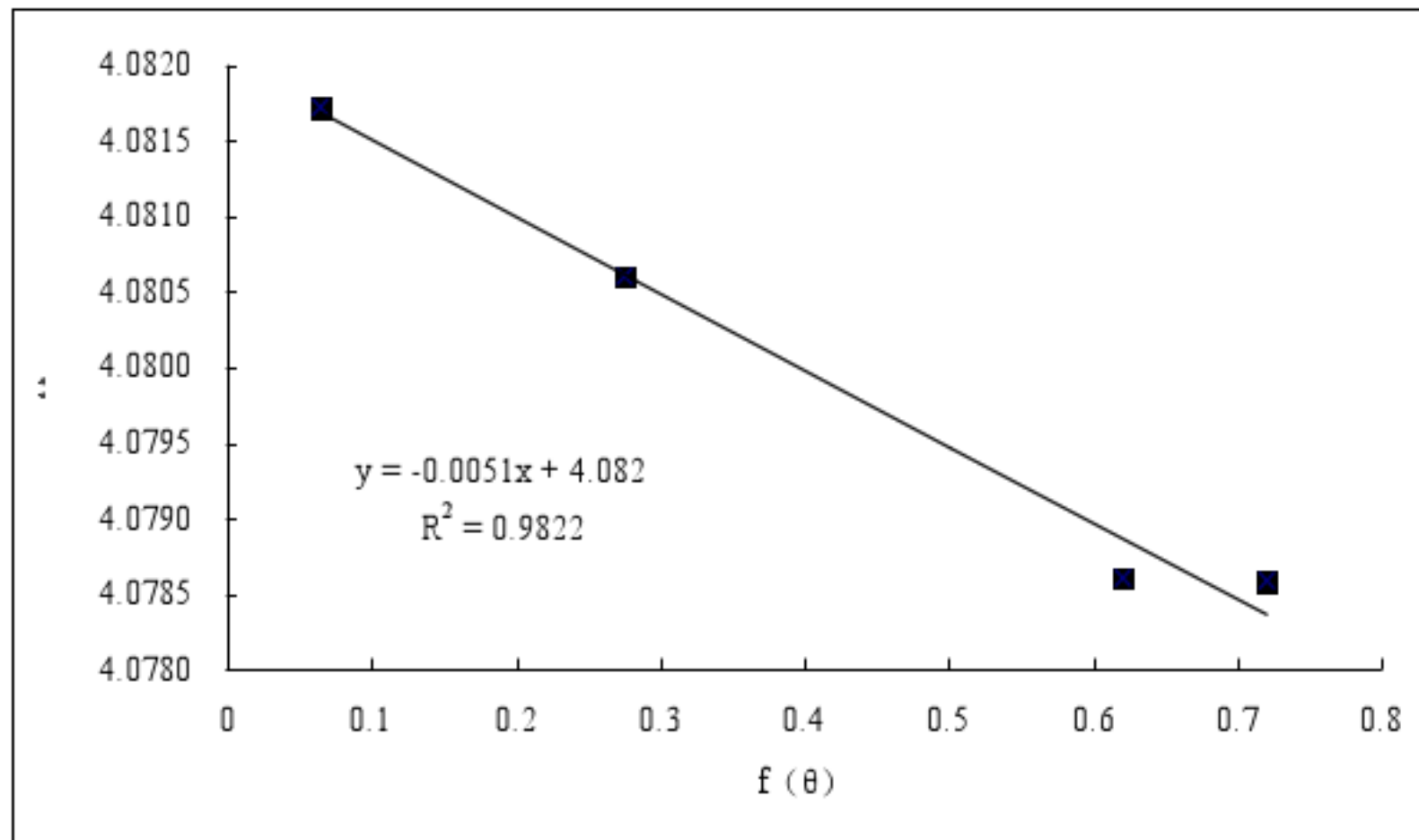
由  $2d \sin \theta = n\lambda \quad (n=1) \quad d = \frac{\alpha}{\sqrt{h^2 + k^2 + l^2}}$  可得：  $\alpha = \frac{\lambda \sqrt{h^2 + k^2 + l^2}}{2 \sin \theta}$

通常采用**铜靶**， $\lambda = 1.542\text{\AA}$



六、3、测得铝在298℃不同衍射半角( $\theta$ )对应的晶面分别为：**55.486-(331); 57.714-(420); 67.763-(422); 78.963-(333)**。试用外推法求其点阵常数(作图)

作a-f( $\theta$ )图如下：



由图可以得出，铝的点阵常数为**4.082 Å**

八、4、某立方晶体的电子衍射花样是一系列同心圆，测得其直径分别为**13.24, 15.28, 21.64, 25.39, 26.42, 30.55, 33.35mm**。已知电镜的有效相机常数**K=1.48mm.nm**，问该样品的晶体点阵常数为多少？

电子衍射的相机常数 **K=L λ =Rd**

**D=2R**

$$d = \frac{a}{\sqrt{h^2 + k^2 + l^2}}$$

→  $h^2 + k^2 + l^2 = \frac{a^2 R^2}{K^2} = \frac{a^2 D^2}{4K^2}$

→  $h^2 + k^2 + l^2$  与 **D<sup>2</sup>** 成正比

3:4:8:11:12:16:19

面心立方

**$h_1^2+k_1^2+l_1^2=3$** , 对应晶面为 **(111)**。

$$a = d \sqrt{h^2 + k^2 + l^2} = \frac{2K}{D} \sqrt{h^2 + k^2 + l^2} = \frac{2 \times 1.48}{13.24} \sqrt{1^2 + 1^2 + 1^2} nm = 0.3872 nm$$

八、5、用作标样金 (**Au**) 的电子衍射花样是一系列同心圆，靠近圆心的圆的直径分别为**13.24, 15.29, 21.62, 25.35mm**。已知金的点阵常数**a=0.4078nm**。问该电镜的有效相机常数为多少？



$$K = Rd = \frac{D}{2} \times \frac{a}{\sqrt{h^2 + k^2 + l^2}}$$

## 十一、1、影响TG曲线的因素？

### 1、仪器因素

- (1)浮力和对流
- (2)挥发物的再凝聚
- (3)坩埚与试样的反应及坩埚的几何特性

### 2、实验条件

- (1)升温速率
- (2)气氛的种类和流量

### 3、试样影响

- (1)试样自身的结构缺陷情况、表面性质
- (2)试样用量
- (3)试样粒度



## 十一、2、试推导热重仪器中试样表观增重与气体密度的关系。 根据所推导的表观增重公式说明影响表观增重的因素。

答：试样的表观增重是指由于温度升高导致浮力下降，而造成的试样增重。

受热过程由于空气密度的改变，使试样的浮力改变，从而使天平的读数有所改变（一般低温时气体密度大，高温时气体密度小）

表观增重（ $\Delta W$ ）：

$$\Delta W = W_T - W_0$$

$W_T$ ——对应于T温度下的重量；

$W_0$ ——对应于 $T_0$ 温度下的重量；

$$\Delta W = Vg (\rho_0 - \rho) = Vg \rho_0 (1 - T_0/T)$$

V——受浮力作用的（在加热区）试样盘和支撑杆的体积；

$\rho_0$ ——试样周围气体在 $T_0$ 时的密度；

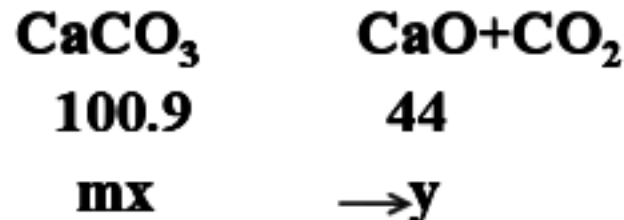
T——测试时某时刻的温度（K）。

影响表观增重的因素：V、 $\rho_0$ 、T。



十一、3、有一石灰石矿，其粉料的**TG-DSC**联合分析图上可见一吸热谷，其**T<sub>onset</sub>**为**880°C**，所对应的面积为**360×4.184J/g**，对应的**TG**曲线上失重为**39.6%**，计算：①该矿物的碳酸钙含量？（碳酸钙分子量为**100.9**）②碳酸钙的分解温度？③单位质量碳酸钙分解时需吸收的热量？

解：①设：石灰石粉料的质量为**m**克，碳酸钙的百分比含量为**x**，  
**CO<sub>2</sub>**气体的质量为**y**克，则**CaCO<sub>3</sub>**的质量为**mx**。



$$\frac{100}{mx} = \frac{44}{y} \quad \text{而} \quad \frac{y}{m} = 39.6\%$$

∴该矿物的碳酸钙含量为**90%**                  ∴  $x = 90\%$

②碳酸钙的分解温度的起始温度**T<sub>onset</sub>**为**880°C**。

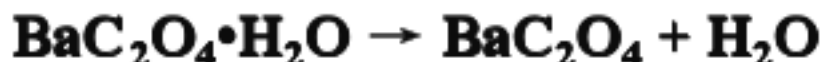
③单位质量碳酸钙分解时需吸收的热量为



$$\frac{360 \times 4.184}{0.9} J/g = 1.6736 KJ/g$$

十一、4、将0.6025g试样溶解，并将其中的Ca<sup>2+</sup>和Ba<sup>2+</sup>沉淀为草酸盐。随后将草酸盐置于热天平中加热、分析。在320~400℃称得质量为0.5713g，在580~620℃称得质量为0.4673g。计算试样中Ca和Ba的质量分数。

解：草酸钙、草酸钡加热反应过程：



∴ 320~400℃时，物质为CaC<sub>2</sub>O<sub>4</sub>和BaC<sub>2</sub>O<sub>4</sub>

580~620℃时，物质为CaCO<sub>3</sub>和BaCO<sub>3</sub>

设Ca有xmol，Ba有ymol

$$\begin{array}{l} \text{则 } \begin{cases} 128x + 225y = 0.5713 \\ 100x + 197y = 0.4673 \end{cases} \longrightarrow \begin{cases} x = 2.73 \times 10^{-3} \text{ mol} \\ y = 9.88 \times 10^{-4} \text{ mol} \end{cases} \\ \therefore m_{\text{Ca}} = 40x = 0.109 \text{ g} \qquad \qquad m_{\text{Ba}} = 137y = 0.135 \text{ g} \end{array}$$

$$w_{\text{Ca}} = \frac{0.109 \text{ g}}{0.6025 \text{ g}} \times 100\% = 18.1\%$$

$$w_{\text{Ba}} = \frac{0.135 \text{ g}}{0.6025 \text{ g}} \times 100\% = 22.4\%$$



## 十二、1、在有机化合物的鉴定和结构判断上，紫外-可见吸收光谱有什么特点？

答：紫外吸收光谱提供的信息基本上是关于分子中**生色团**和**助色团**的信息，而不能提供整个分子的信息，即紫外光谱可以提供一些**官能团**的重要信息，所以只凭紫外光谱数据尚**不能完全确定物质的分子结构**，还必须与其它方法配合起来。



十二、2、取钢样1.00g，溶解于酸中，将其中锰氧化成高锰酸盐，准确配制成250mL，测得其吸光度为 $1.00 \times 10^{-3}$ mol·L<sup>-1</sup>KMnO<sub>4</sub>溶液吸光度的1.5倍。计算钢中锰的百分含量。

解：锰的摩尔质量为54.94g/mol

根据朗伯-比尔定律  $A = \lg \frac{I_0}{I} = \varepsilon / c$  可知，浓度与吸光度成正比。

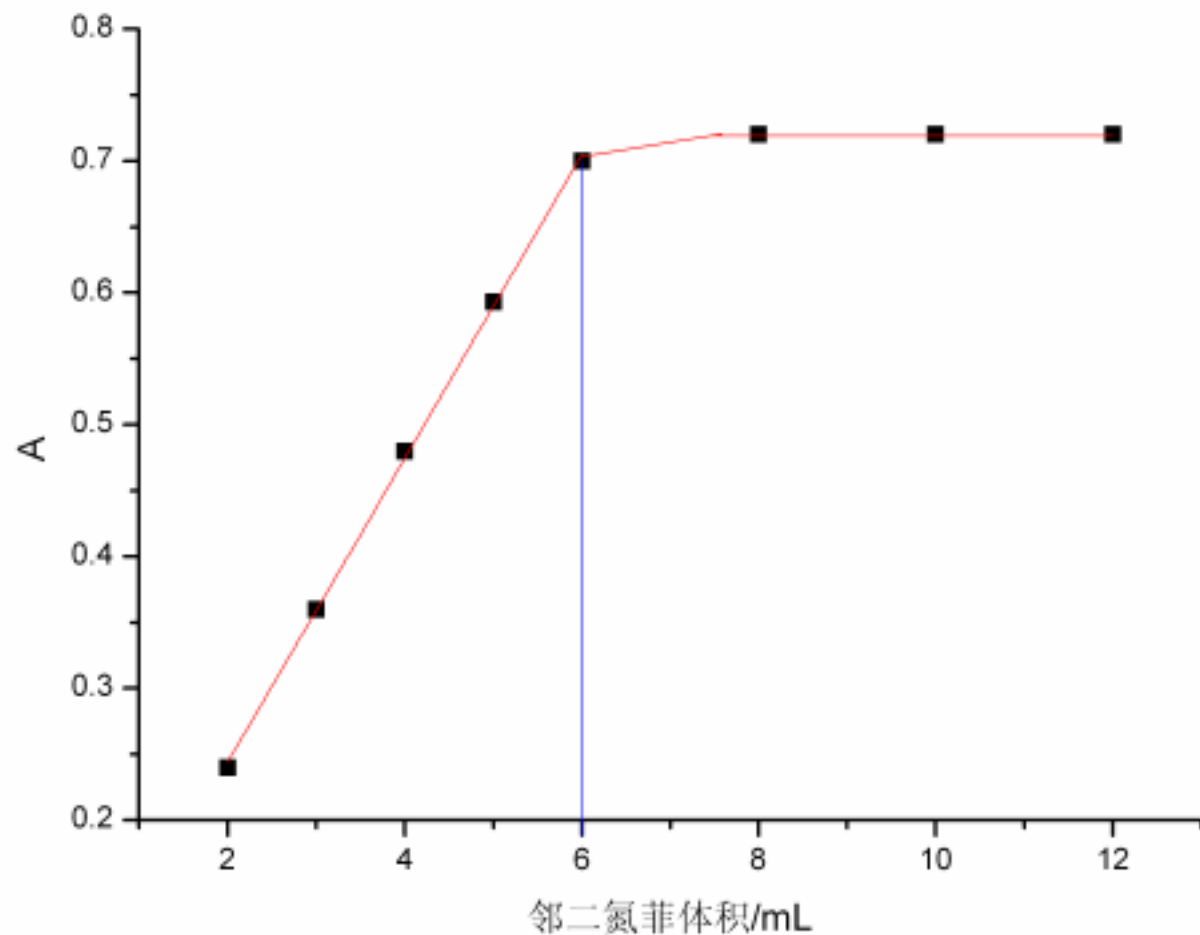
所以试样中KMnO<sub>4</sub>溶液的浓度为 $1.00 \times 10^{-3} \times 1.5 \text{ mol/L} = 1.5 \times 10^{-3} \text{ mol/L}$

$$\begin{aligned} w_{Mn} &= \frac{m_{Mn}}{m_{\text{钢样}}} \times 100\% = \frac{c_{Mn} V_{Mn} M_{Mn}}{m_{\text{钢样}}} \times 100\% \\ &= \frac{1.5 \times 10^{-3} \text{ mol/L} \times 250 \text{ mL} \times 10^{-3} \text{ L/mL} \times 54.94 \text{ g/mol}}{1.00 \text{ g}} \times 100\% = 2.06\% \end{aligned}$$



十三、3、配制一系列溶液，其中 $\text{Fe}^{2+}$ 相同（各加入 $7.12 \times 10^{-4} \text{ mol} \cdot \text{L}^{-1} \text{ Fe}^{2+}$ 溶液 $2.00 \text{ mL}$ ），分别加入不同体积的 $7.12 \times 10^{-4} \text{ mol} \cdot \text{L}^{-1}$ 的邻二氮菲溶液，稀释至 $25 \text{ mL}$ 后用 $1 \text{ cm}$ 比色皿在 $510 \text{ nm}$ 处测得吸光度如下：求配合物的组成。

邻二氮菲体积/mL	2.00	3.00	4.00	5.00	6.00	8.00	10.00	12.00
A	0.240	0.360	0.480	0.593	0.700	0.720	0.720	0.720



十二、4、异亚丙基丙酮有两种异构体的存在（A和B如下图）：其中之一最大吸收在236nm处，其 $\epsilon=12000$ ，而另一个在大于200nm处没有强吸收，请鉴定两种异构体。

答：A为 $\alpha$ 、 $\beta$ -不饱和酮，该分子中存在两个双键的 $\pi\pi$ 共轭体系，吸收峰波长较长。因此最大吸收在236nm处，其 $\epsilon=12000$ 的为A异构体。

在大于200nm处没有强吸收，说明分子中无K吸收带，故为B异构体。



## 补充知识点

- 紫外可见吸收光谱的应用——定量分析

- 紫外可见分光光度法

原理：朗伯——比尔定律

$$A = \lg \frac{I_0}{I} = \varepsilon l c$$

其中  $I_0$  — 入射光强度

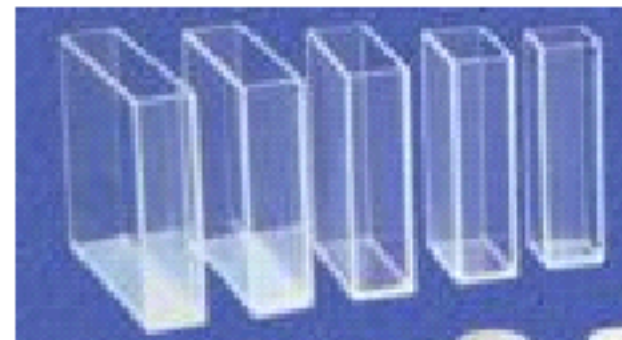
$I$  — 透射光强度

$\varepsilon$  — 摩尔吸收系数

$l$  — 试样的光程长，即比色皿的厚度

$c$  — 溶质浓度

- 用分光光度法测定被测组分常用工作曲线法，又称标准曲线法。



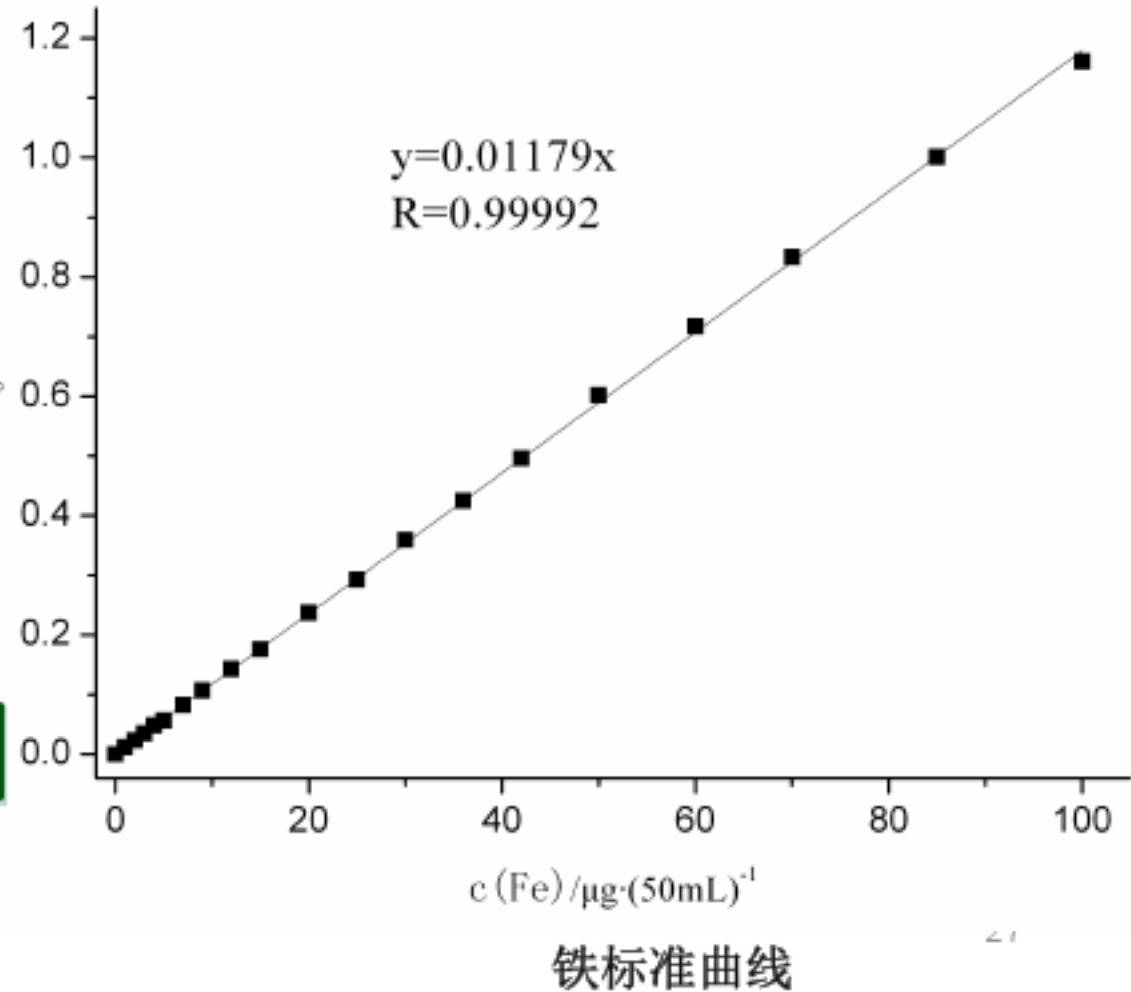
# 紫外可见分光光度法

## ■ 标准曲线法

- 首先配制一系列不同质量浓度被测元素的标准溶液，显色后于一定波长（通常是最吸收处波长）处测量吸光度，然后以标准溶液质量浓度为横坐标，吸光度为纵坐标作图，得到一条过原点的直线，即工作曲线。
- 待分析样品经化学处理，与标准溶液同条件下显色并测其吸光度。由工作曲线上查得该溶液中被测元素的质量浓度，从而计算样品中被测组分的质量分数。



吸光度为扣空白的吸光度



## 例：多晶硅中铁含量的测定

- 硅试液的配制：

用氢氟酸和硝酸使硅溶解，高氯酸冒烟驱除硅，氟等物质，残渣用盐酸溶解。

- 分光光度法测定铁含量：

用盐酸羟胺将 $\text{Fe}^{3+}$ 还原成 $\text{Fe}^{2+}$ 。在的微酸性溶液中， $\text{Fe}^{2+}$ 与**1,10-二氮杂菲**生成橙红色络合物。于分光光度计波长**510nm**处测量其吸光度。

- 铁含量的计算：

$$w(Fe) = \frac{(A - A_0) \times V \times 10^{-6}}{k \times m \times V_1} \times 100\%$$

式中 **A**——样液吸光度；

**A<sub>0</sub>**——空白吸光度；

**V**——样液总体积，**mL**；

**V<sub>1</sub>**——移取样液体积，**mL**；

**k**——铁标准工作曲线斜率， **$\mu \text{ g}^{-1}$** ；

**m**——多晶硅的质量，**g**；



## 补充练习

- (1) 材料的三要素是\_\_\_\_\_，\_\_\_\_\_和\_\_\_\_\_。
- (2) X射线本质上是一种\_\_\_\_。产生的主要原因是\_\_\_\_\_。
- (3) X射线滤波片的作用是使 $K_{\beta}$ 谱线及连续光谱的强度\_\_\_\_以提高分析精度，一般使 $K_{\alpha}$ 与 $K_{\beta}$ 的比为**600: 1**时， $K_{\alpha}$ 的强度将降低\_\_\_\_\_。
- (4) 常见的晶体结构有\_\_\_\_\_。对立方晶系，求面间距公式为\_\_\_\_\_。
- (5) X射线衍射分析晶体结构时，晶胞的大小与形状由\_\_\_\_\_决定；而原子的种类和在晶胞中的位置由\_\_\_\_\_决定。
- (6) 影响衍射峰形状的主要实验参数有\_\_\_\_\_、\_\_\_\_\_、\_\_\_\_\_。
- (7) 扫描电镜利用样品产生的\_\_\_\_\_进行形貌和组织观察；而透射电镜可利用\_\_\_\_\_进行组织观察和\_\_\_\_\_进行结构分析。
- (8) 当透射电镜的中间镜物平面与物镜的\_\_\_\_\_重合时，得到放大的像（成像操作），而中间镜物平面与物镜的\_\_\_\_\_重合时，得到的是电子衍射花样（衍射操作）。
- (9) 本课程中表面成分分析的仪器有\_\_\_\_\_，微区成分分析的仪器有\_\_\_\_\_。
- (10) 倒点阵基矢\_\_\_\_\_正点阵中与本身异名的两基矢所形成的平面，倒易矢量的长度等于正点阵晶面间距的\_\_\_\_\_。



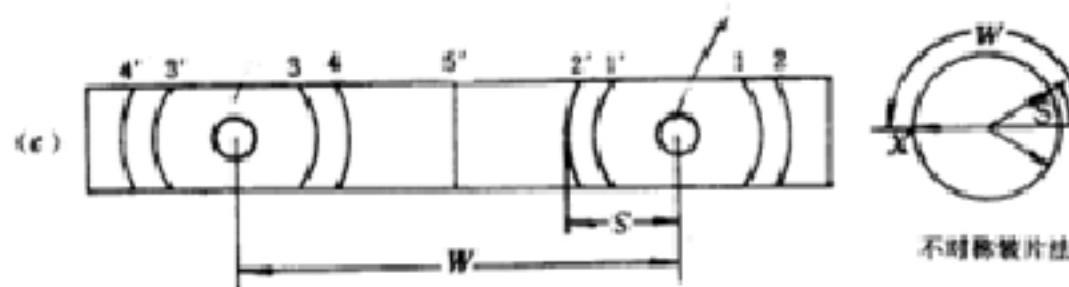
## 补充练习

- (11) 多晶体的电子衍射花样是\_\_\_\_\_，单晶体的衍射花样是\_\_\_\_，而非晶态物质只有一个漫射的\_\_\_\_\_。
- (12) 可见光的波长为**400nm**，作为光学显微镜的光源，则其极限分辨率为\_\_\_\_；而用加速电压为**100KV**（孔径半角为**10<sup>-2</sup>rad**）的电磁透镜的分辨率为\_\_\_\_\_。
- (13) 已知( $\mathbf{h}_1\mathbf{k}_1\mathbf{l}_1$ )和( $\mathbf{h}_2\mathbf{k}_2\mathbf{l}_2$ )同属于[uvw]晶带轴，则u=\_\_\_\_，v=\_\_\_\_，w=\_\_\_\_；已知某晶面同属于[111]和[101]两个晶带轴，则此晶面指数为\_\_\_\_\_。
- (14) 多晶体的衍射方法主要有\_\_\_\_\_；单晶体的衍射方法主要有\_\_\_\_\_。
- (15) 入射电子与原子核外电子碰撞，将核外电子激发到空能级或使其逸出试样表面形成的电子（低于**50eV**）称为\_\_\_\_\_。它主要包含材料的\_\_\_\_\_衬度信息，是\_\_\_\_\_电子显微镜的工作依据。
- (16) 衍射仪的测量参数包括\_\_\_\_\_。
- (17) 解决衍射仪几何聚焦的两种措施是\_\_\_\_\_。
- (18) 立方晶系多晶体进行德拜衍射时，发现前四道衍射弧对为(111) (200) (220) (311)，则此晶体结构为\_\_\_\_\_。
- (19) 人眼的分辨率为\_\_\_\_，光学显微镜的分辨率可达到\_\_\_\_，SEM的分辨率可达到\_\_\_\_，TEM的分辨率可达到\_\_\_\_。
- (20) 通过本课程的学习可知，观察样品的显微组织及形貌可用的仪器有\_\_\_\_\_，分析晶体学结构可用的仪器有\_\_\_\_\_，分析其化学成分可用的仪器有\_\_\_\_\_。



## 补充练习

- 1、测定某混合物中Al的含量，以 $\text{Al}_2\text{O}_3$ 作为内标物质。**X射线分析表明，混合物中Al的** $K_{\alpha}$ **谱线强度为9200 CPS/min，背底高度为1400 CPS/min；在120克混合物中加入5克** $\text{Al}_2\text{O}_3$ **后，相应的** $K_{\alpha}$ **谱线强度为24800 CPS/min，背底强度为2000CPS/min。试求混合物中Al的含量。**
- 2、用**TEM**分析金薄膜得到一系列同心圆，其直径分别为**12.56、14.54、20.58、24.10、25.14mm**。已知金的点阵常数 **$a=0.4087\text{nm}$** 。问该电镜的有效相机常数等于多少？
- 3、在制备透射电镜的块体薄膜样品时，对不同材料如何减薄？
- 4、试讨论**NaCl**的**(220)、(111)、(331)、(110)、(112)**晶面对衍射束强度的影响。
- 5、请区别电磁透镜的景深与焦长。
- 6、比较**X射线衍射**和**电子衍射**在物相结构分析上的异同点。
- 7、能量为**100KeV**的电子束通过多晶薄铝片形成电子衍射，已知铝的点阵常数 **$a=0.405\text{nm}$** ，问最低角衍射束的衍射角 **$2\theta$** 等于多少度？（提示：最低衍射束为**(111)**的反射，其中常数 **$m_e=9.11\times 10^{-31}\text{kg}$** ， **$e=1.6\times 10^{-19}\text{C}$** ， **$h=6.626\times 10^{-34}\text{J}\cdot\text{s}$** ）
- 8、如图为德拜（Debye）相机进行晶体分析时底片的不对称装片法，以两孔为分界线用箭头标明 **$2\theta$** 增大方向。



作业未交的同学——统一于**6月16日下午**交到科学楼**418**

学号	平时作业												
	1	2	3	4	5	6	7	8	9	10	11	12	13
10420078102398				●									
30320078100099						●		●		●	●	●	●
30320078100102	●		●	●	●	●	●	●	●	●	●	●	●
30320082200010				●									
30320082200022					●		●	●	●	●	●	●	●
30320082200025									●				
30320082200028			●										
30320082200030		●	●	●			●				●		
30320082200046									●				
30320082200049										●			
30320082200061										●			
30320082200069										●			
30320082200079								●					
30320082200080		●											
30320082200084			●						●		●		
30320082200096				●									
30320082200098									●			●	
30320082204728							●				●		





祝大家考试顺利